

## زیست چینه نگاری، زیست رخساره‌ها و شاخص تغییر رنگ کنودونت‌ها در نهشته‌های دونین میانی – بالایی برش کوه بند عبدالحسین (جنوب شرق انارک)

بهاره شاکری<sup>۱</sup>، علی بهرامی<sup>۲\*</sup>، حسین وزیری مقدم<sup>۳</sup>، پیتر کونیگشوف<sup>۴</sup>

۱- کارشناسی ارشد چینه شناسی و فسیل شناسی، گروه زمین شناسی، دانشگاه اصفهان، اصفهان، ایران

۲- دانشیار گروه زمین شناسی، دانشگاه اصفهان، اصفهان، ایران

۳- استاد گروه زمین شناسی، دانشگاه اصفهان، اصفهان، ایران

۴- استاد مؤسسه پژوهشی سنکبرگ، موزه تاریخ طبیعی فرانکفورت، آلمان

\*پست الکترونیک: a.bahrami@sci.ui.ac.ir

تاریخ پذیرش: ۹۷/۸/۲۹

تاریخ دریافت: ۹۶/۱۰/۱۲

### چکیده

برش چینه شناسی کوه بند عبدالحسین در ۳۵ کیلومتری جنوب شرقی انارک و در ۱۸۰ کیلومتری شمال شرق اصفهان جای دارد. ضخامت سازند بهرام در این برش ۳۶۶ متر و شامل ۱۴ واحد سنگ چینه‌ای می‌باشد. به منظور تعیین سن دقیق نهشته‌های مورد بحث تعداد ۷۸ نمونه به طور سیستماتیک برداشت گردید که پس از انجام مراحل آزمایشگاهی و آماده سازی، تعداد ۱۹۱۷ عنصر کنودونتی از آنها به دست آمده است. بررسی کنودونت‌های به دست آمده به شناسایی ۴۱ گونه و زیر گونه متعلق به ۶ جنس منجر گردید. با توجه به کنودونت‌های به دست آمده از این توالي ۶ زیست‌زون کنودونتی شامل *Upper rhenana to transitan to Lower rhenana zones*, *upper falsiovalis to transitan zones*, *subterminus zone*, *expansus zone* و *linguiformis zones* to *triangularis to termini zones* تعیین شد. با توجه به زیست‌زون‌های تعیین شده سن نهشته‌های مورد بررسی از ژیوتین پسین تا فامنین پیشین تعیین گردید. مطالعه فراوانی کنودونت‌ها و بررسی ریز رخساره‌های کنودونتی نیز حاکی از رخساره Icriodid-Polygnathid در بخش‌های پائینی برش و رخساره Plygnathid-Icriodid در بخش‌های با سن فرازنین میانی - پسین می‌باشد که این تغییر رخساره کنودونتی حاکی از پیش‌روی آب دریا می‌باشد. در مرز فرازنین - فامنین افزایش تعداد پالماتولپسیدها حاکی از افزایش سطح ناگهانی آب و مؤید حداثه زیستی کلواسر می‌باشد. بررسی تغییرات رنگ کنودونت‌ها نیز حاکی از این موضوع می‌باشد به طوری که در انتهای ژیوتین شاخص تغییر رنگ کنودونت‌ها CAI=1/5-2، در اوایل فرازنین این شاخص معادل CAI=4-4.5 و به سمت انتهای فرازنین و فامنین مجدداً شاخص به 2 CAI تغییر می‌باید.

**واژه‌های کلیدی:** سازند بهرام؛ اصفهان؛ کنودونت؛ زیست چینه نگاری؛ ژیوتین؛ فامنین

### مقدمه

مختلف با توجه به یافته‌های سن سنجی و گاهآفسلی سن آنها را پر کامبرین، کربنیفر، پالئوزوئیک و مزووزوئیک در نظر می‌گیرند (هوشمند زاده و همکاران، ۱۳۶۷؛ & Leven 2006). در جنوب غرب انارک (Gorgij، 2006

در ناحیه انارک جدای از مجموعه‌های افیولیتی رنگی غرب انارک که ضخامتی در حدود ۷۰۰۰ متر و عمدتاً متشكل از هارزبوزیت، دیاباز، گابرو و بازالت است، سنگ آهک‌های پلازیک و چرت‌های نواری نیز دیده می‌شوند که محققین

پسین به آن اختصاص داده شده است (Wendt *et al.*, 2005). بر روی نهشته‌های دونین سازند بهرام با ناپیوستگی همشیب، سنگ آهک‌های نودولار قرمز رنگ و سنگ آهک‌های خاکستری برشی شده و سنگ آهک‌های خاکستری ضخیم لایه فسیل دار سازند سردر به سن تورنرین تا نامورین قرار می‌گیرد (Wendt *et al.*, 2005). Korn *et al.* (1999) با معرفی ۶ گونه از آمونوئیده‌ها سن ویژئن تا نامورین را برای سازند سردر در نظر گرفته‌اند. همچنین Leven *et al.* (2006) با بررسی افق‌های سنگ آهکی فسیل دار سازند سردر و مطالعه روزن‌داران موجود در دو سازند قلعه و آبشنبه، سن سربوچوین تا موسکووین را برای بخش کربنیفر این توالی معرفی نموده‌اند (شکل ۱). گسترش رسوبات پالئوزوئیک بالایی در اطراف اصفهان بیشتر به شمال حوضه اصفهان شامل مناطق سُه و نظرن و برش‌های نجفت، نقله، ورکمر، شمال تار و غرب کشه در نوشته‌های Zahedi (1973) و Adhamian (2003) منطقه شمال شرقی حوضه اصفهان شامل برش‌های زفره، چاهریسه و دیزلو در نوشته‌های Brice *et al.* (2006) و Bahrami *et al.* (2013) و Ghobadipour *et al.* (2015) منطقه شمال شرقی حوضه اصفهان شامل برش‌های زفره، چاهریسه و دیزلو در نوشته‌های Leven & Gorgij (2007)، Boncheva *et al.* (2007) و Bahrami *et al.* (2011) و Bahrami *et al.* (2008) محدود می‌شود و سن این توالی‌های رسوبی فرازنین پیشین تا فامینی پسین است که با چند افق کربناته مربوط به آب‌های کم عمق شروع و به تدریج به نهشته‌های آواری ضخیم لایه و کربنات‌های آب‌های کم عمق با میان لایه‌های شیلی ختم می‌شود (Yazdi *et al.*, 2000; Gholamalian, 2003).

این نهشته‌ها نیز توسط توالی کربناته آواری پرمنین به طور

پل خاوند، دوشاخ و کوه بند عبدالحسین مجموعه‌هایی از سنگ‌های دگرگونی شامل شیست، گنیس، مرمر و انواعی از کانی‌های طیف دگرگونی به سن پروتروزوئیک پسین وجود دارند (Sharkovski *et al.*, 1984). در مجاورت این مجموعه‌های دگرگون در کوه بند عبدالحسین توالی نسبتاً کاملی از نهشته‌های پالئوزوئیک به سن ارددویسین تا پرمن Lensch & Davoudzadeh, 1982; Hairapetian *et al.*, 2015 حضور دارند. نهشته‌های رسوبی پالئوزوئیک برش کوه بند عبدالحسین به صورت ناپیوسته بر روی مرمرهای منسوب به لاخ با سن کامبرین پیشین قرار گرفته‌اند. بر پایه حضور آركئوسیاتیدهای موجود در این مرمرها، سن کامبرین پیشین برای این بخش در نظر گرفته شده است (Sharkovski *et al.*, 1984). نهشته‌های دونین در ناحیه انارک (برش کوه بند عبدالحسین) مشکل از سازندهای پادها، سیزار و بهرام است. سازند پادها در ناحیه انارک رخمنون زیادی ندارد و سنگ شناسی آن شامل ماسه سنگ‌های کوارتزی و دیابازهای آلکالن است که در بخش پایینی تاویبی از سنگ آهک‌های دولومیتی شده دارد. این نهشته‌ها ۲۹۰ متر ضخامت دارند و سن آن با آکریتارکها و اسپورهای مطالعه شده فرازنین پیشین تشخیص داده شده است (Wendt *et al.*, 2005). سازند دولومیتی سیزار نیز در ناحیه انارک شامل ۲۰۰ تا ۲۰۰ متر دلولمیت‌های خاکستری تیره، زرد، قهوه‌ای و خاکستری روشن است که مرز آن با سازند پادها در زیر ناگهانی ولی همشیب و با سازند بهرام همشیب و تدریجی است و با توجه به مرجان‌ها و بازوپایان یافت شده سن آن دونین میانی است (Wendt *et al.*, 2005). ضخامت سازند بهرام در ناحیه انارک و در برش مورد مطالعه ۳۶۶ متر و مشتمل بر سنگ آهک‌های خاکستری تیره و بین لایه‌های مارنی است و با توجه به مجموعه فسیل‌های یافت شده سن دونین میانی -

کیلومتر به سمت جنوب شرق، می‌توان به برش مورد مطالعه رسید (شکل ۱).

### روش مطالعه

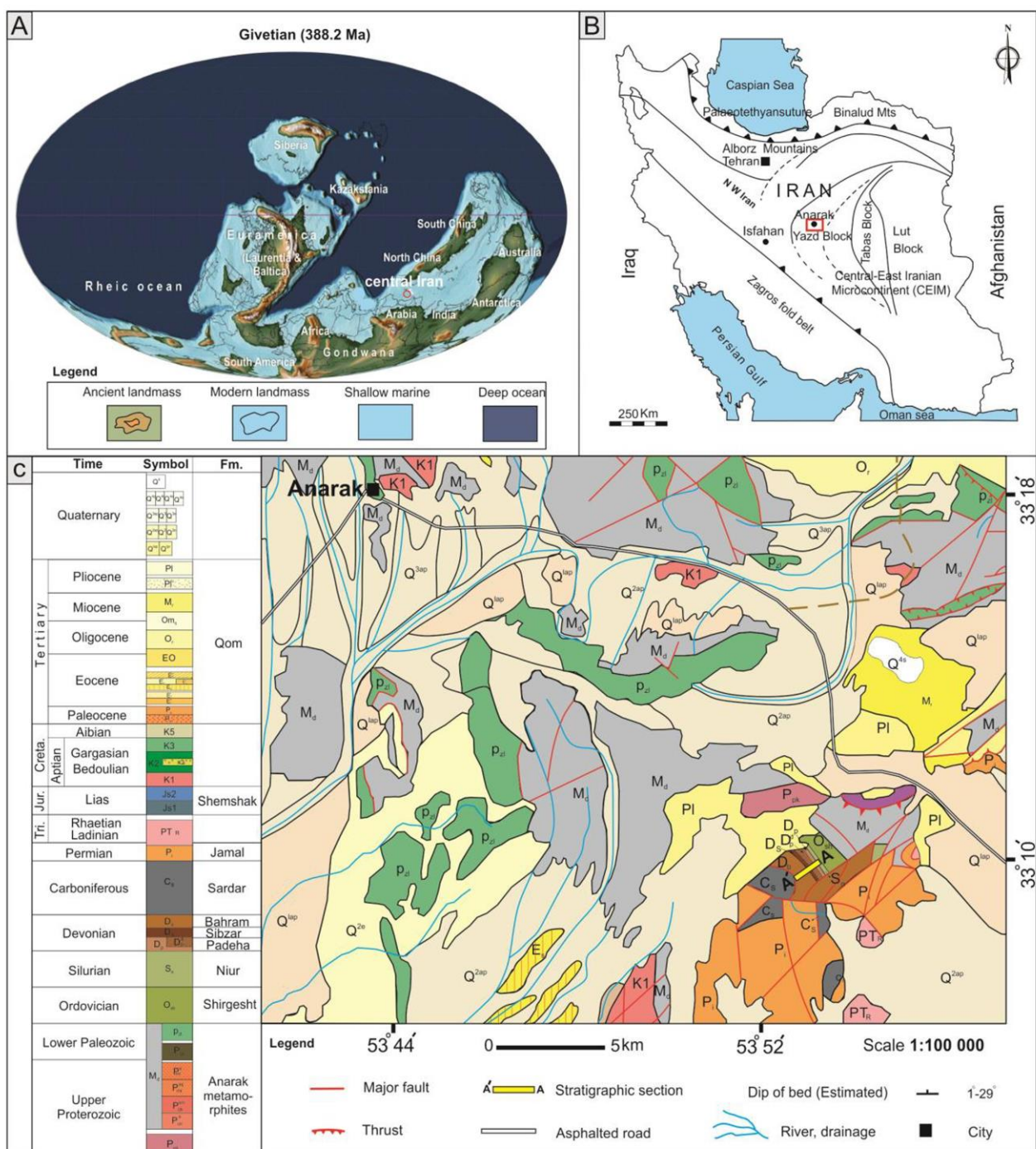
در انجام این پژوهش ۷۸ نمونه سنگ آهک ۳ تا ۴ کیلوگرمی به طور سیستماتیک از برش مورد مطالعه جمع آوری شد. نمونه برداری بر پایه تغییر رخساره سنگی و از سنگ آهک‌های فسیل دار و سنگ آهک‌های دولومیتی انجام گردید. نمونه‌ها در آزمایشگاه گروه زمین شناسی دانشگاه اصفهان طی در اسیدفورمیک / اسید استیک حل و عناصر کنودونتی و میکروفسیل‌های دیگر (بقایای ماهی‌ها، استراکدها، دوکفه‌ای‌ها و شکم پایان ریز) از آنها جدا شدند. در مرحله مطالعات آزمایشگاهی نمونه‌های سنگی مربوط به محظای کنودونتی به قطعات ۲ تا ۴ سانتی متری خرد شده و به مدت ۵ تا ۷ روز به ازای هر نوبت اسیدشویی در تشت‌های حاوی اسید استیک و آب (۲۰%) قرار گرفته‌اند. در مرحله بعد نمونه‌ها شسته شده و رسوب باقی مانده روی هر الک به تفکیک در ظروف مجزایی ریخته شده و برای خشک شدن به آنها زمان داده شد. پس از خشک شدن نمونه‌ها، هر یک از آنها درون قوطی‌های شماره گذاری شده ریخته و در مراحل بعدی (جداسازی) مورد استفاده قرار گرفته‌اند. برای نمونه‌های دولومیتی شست و شوی نمونه‌ها با اسید فرمیک انجام شد، به این صورت که نمونه‌ها با آب شسته شده و در ظروف آلومینیومی استوانه‌ای شکل ۴ تا ۵ لیتری گذاشته شدند و در زیر هود آزمایشگاه، ۱۵۰ میلی‌لیتر اسید فرمیک تجاری به درون ظرف حاوی نمونه، اضافه و با آب جوش ۹۰ تا ۱۰۰ درجه به حجم رسانده شدند (۱۵۰ میلی‌لیتر اسید + ۸۵۰ میلی‌لیتر آب جوش یا ۳۰۰ میلی‌لیتر اسید + ۱۷۰۰ میلی‌لیتر آب جوش و ...). در ادامه ظرف حاوی نمونه، اسید و آب بر روی اجاق برقی با درجه حرارت مناسب به مدت ۱۰ ساعت قرار گرفت.

Ghavidel-Syooki, 1993؛ Ghavidel-Syooki, 1993؛ غلامعلیان، ۱۳۷۶؛ Yazdi *et al.*, 2000). این نبود فرسایشی که در اغلب بخش‌های پلاتفرم ایران به نام "نپیوستگی هرسی نین" گزارش شده است (Wendt *et al.*, 2002, 2005 آمدگی در مرحله ابتدایی قبل از فرورانش فشارشی در طول حاشیه شمالی گندوانا و در پالئوتیس درست قبل از باز شدگی ریفت نشوتنیس در پرمنین میانی باشد (Sharland *et al.*, 2001; Ruban *et al.*, 2007)

با توجه به این که مطالعات کنودونتی توالی‌های سنگی دونین در دیگر برش‌های حوضه اصفهان و ایران مرکزی با دقت انجام شده است، تعیین سن دقیق کنودونتی و زیست رخساره‌های نهشته‌های کربناته فسیل دار سازند بهرام در برش کوه بند عبدالحسین انارک که توسط نهشته‌های کربناتی سازند سردر به سن کربنیفر پوشیده می‌شوند و بررسی زیست‌زون‌های کنودونتی موجود می‌تواند به تکمیل یافته‌های فسیلی در جهت تطابق دیرینه جغرافیایی حوضه ایران مرکزی کمک نماید.

### راه دسترسی و موقعیت جغرافیایی

از نظر موقعیت جغرافیایی برش مورد مطالعه در ۳۵ کیلومتری جنوب شرقی شهر انارک و شمال شرق اصفهان با مختصات "۳۳° ۹۰' ۱۰" عرض شمالی و "۵۲° ۵۵' ۵۵" طول شرقی واقع شده است. این برش دارای توالی نسبتاً کاملی از رسوبات پالئوزویک می‌باشد و سازند ملطف از این توالی رسوبی، سازند بهرام است. برش مورد مطالعه در پهنه ایران مرکزی، بلوک یزد و زیرپهنه انارک - خور قرار گرفته است. تنها راه دسترسی به این برش عبور از مسیر انارک به سمت خور است و با طی مسافتی حدود ۳۵



شکل ۱: (A) نقشه پالئوژئوگرافی دونین میانی (Scotese, 2014; Anderiva, 2018)، (B) واحدهای ساختاری و خطوارهای گسلی اصلی ایران (Wilmsen et al., 2009; Zanchi et al., 2009)، (C) نقشه زمین شناسی بازترسیم شده از برش مورد مطالعه (Sharkovski et al., 1984).

رسوب به دست آمده از مرحله اسید شویی را درون سینی‌های مخصوصی ریخته و با استفاده از میکروسکپ بینوکولار و با دقت زیاد، تمامی قطعات فسیلی موجود از جمله کنودونت‌ها، استراکودها، شکم‌پایان، اسکلریت

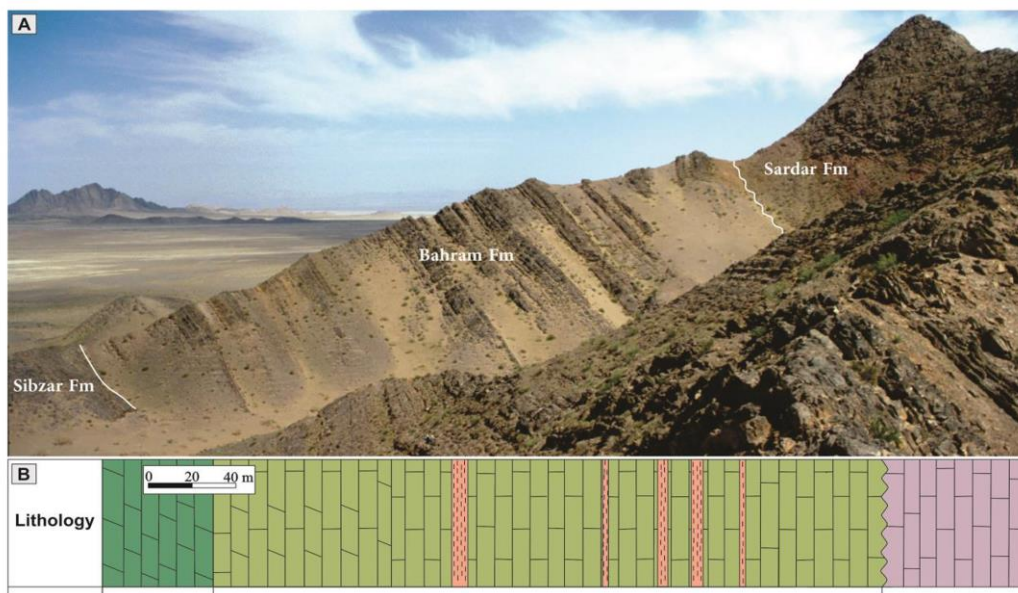
سپس نمونه سنگی حل نشده از ظرف جدا شده و مواد باقیمانده حاصل از انحلال، به همان روش بالا شسته و درون ظرف قرار گرفته و بعد از خشک شدن برای سایر کارهای آزمایشگاهی مورد استفاده قرار گرفتند. در مرحله بعد

محققین مختلفی انجام شده که در شناسایی کنودونت‌ها و زیست رخساره‌های کنودونتی برش انارک (برش کوه بند Adhamian, عبدالحسین) مورد استفاده قرار گرفته‌اند ( Bahrami *et al.*, 2003; 2007; Gholamalian, 2003; 2007; Königshof *et al.* 2017; 2014a, b, 2015, 2018

هولوتورین‌ها و بقایای ماهی‌ها جدا شده و در سل‌های شماره گذاری شده قرار گرفتند. بعد از جداسازی عناصر کنودونتی از رسوبات، ابتدا عناصر سالم از بین عناصر به دست آمده جدا شده و در صورت لزوم با آب اکسیژنه تمیز گردیدند. بعد از تمیز کردن عناصر کنودونتی، آنها را توسط یک چسب کربنی رسانا بر روی پایه استاپ چسبانده و در نهایت تصاویری به کمک میکروسکپ الکترونی از آنها در مرکز متالورژی رازی کرج تهیه و مورد مطالعه تاکسونومی قرار گرفتند. زیست‌زون بندی استاندارد کنودونتی محیط‌های پلازیک دونین میانی و پسین در حوضه‌های اروپا و آمریکا Ziegler & (1979) Klapper & Ziegler توسط (1993) Sandberg گردیده است. در حوضه‌های کم عمق‌تر نیز زیست‌زون Weddige & (1976) Sandberg و (1984) Sandberg & Dreesen، (1979) Ziegler Narkiewicz & (1999) Ziegler & Weddige، (2008) Bultynck & Gouwy، (2007, 2010) Bultynck Söte *et al.*، (2017) Lüddeke *et al.*، (2011) Narkiewicz Spalletta *et al.* (2017) و (2017) al. همچنین مطالعات وسیعی بر روی فونای کنودونتی و رخساره‌های زیستی کنودونتی کم عمق ایران مرکزی توسط

## بحث

سازنده بهرام در ناحیه انارک با یک مرز تدریجی از سنگ آهک دولومیتی خاکستری تا کرم بر روی دولومیت‌های خاکستری تیره سازند سیزار قرار گرفته است. این سازند به طور عمده از سنگ آهک‌های خاکستری متوسط تا ضخیم لایه دارای افق‌های مرجانی، بازوپایان، تناتکولیتیدها و افق‌هایی از سنگ آهک‌های مارنی دارای بریوزوئر و کرینوئید تشکیل شده که نهایتاً با یک ناپیوستگی همشیب در زیر سنگ آهک‌های ندولار قرمز رنگ کربنیفر قرار می‌گیرند. ضخامت نهشته‌های سازند بهرام در برش مورد مطالعه ۳۶۶ متر است. با توجه به بررسی‌های انجام شده طی مطالعات صحراوی، نهشته‌های دونین در این برش به ۱۴ واحد سنگی قابل تقسیم هستند که این تقسیم بندی با توجه به تغییرات جنس سنگ‌ها، رنگ و ضخامت آنها انجام شده است (شکل ۲).



شکل ۲: تصویر پانoramیک از برش مورد مطالعه (برگرفته از Wendt *et al.* 2005) و ستون سنگ شناسی کلی رخمنون مورد مطالعه.

### 1- *expansus* Zone

این زیست‌زون با ضخامت ۲۶ متر در بردارنده نمونه‌های S11 تا S37 می‌باشد. سنگ شناسی این زیست‌زون شامل سنگ آهک‌های دولومیتی و سنگ آهک‌های خاکستری متوسط تا ضخیم لایه است (شکل ۴). مرز زیرین این زیست‌زون منطبق بر اولین حضور *Icriodus expansus hermani* zone Branson & Mehl 1938 منطبق بر اولین حضور *Icriodus subterminus* در نویسنده Youngquist 1947 است که اولین حضور این گونه نشان دهنده مرز زیرین زیست‌زون بعدی است (Narkiewicz & Sandberg, 1984; Sandberg & Dreesen, 1984; Bultynck, & Gouwy, 2007, 2010).

(S. زایر کنودونت‌های این زیست‌زون عبارتند از:

*Icriodus arkonensis*, *Icriodus brevis*, *Icriodus eslaensis*, *Icriodus excavatus*, *Icriodus expansus*, *Icriodus lilliputensis*, *Polygnathus linguiformis linguiformis* γ 1a.

### 2- *subterminus* Zone

این زیست‌زون با ضخامت ۶۵ متر در بردارنده نمونه‌های S38 تا S103 می‌باشد. سنگ شناسی این زیست‌زون شامل سنگ آهک‌های خاکستری متوسط تا ضخیم لایه است. مرز زیرین این زیست‌زون منطبق بر اولین حضور *Icriodus disparilis* zone *subterminus* Youngquist 1947 (معادل *subterminus* Zone Narkiewicz & Bultynck, 2007, 2010; Bultynck, & Gouwy, 2008; Bultynck, 2011; Bultynck and Gouwy, 2008) و مرز بالایی آن منطبق بر اولین حضور *Ancyrodella pristina* Khalymbadzha & Chernysheva 1970 در *Upper falsiovalis to transitans* zone Klapper (Gouwy et al. 1989; Sandberg et al. 1989; Lane, 1985). حضور گونه *Ancyrodella pristina* با توجه به

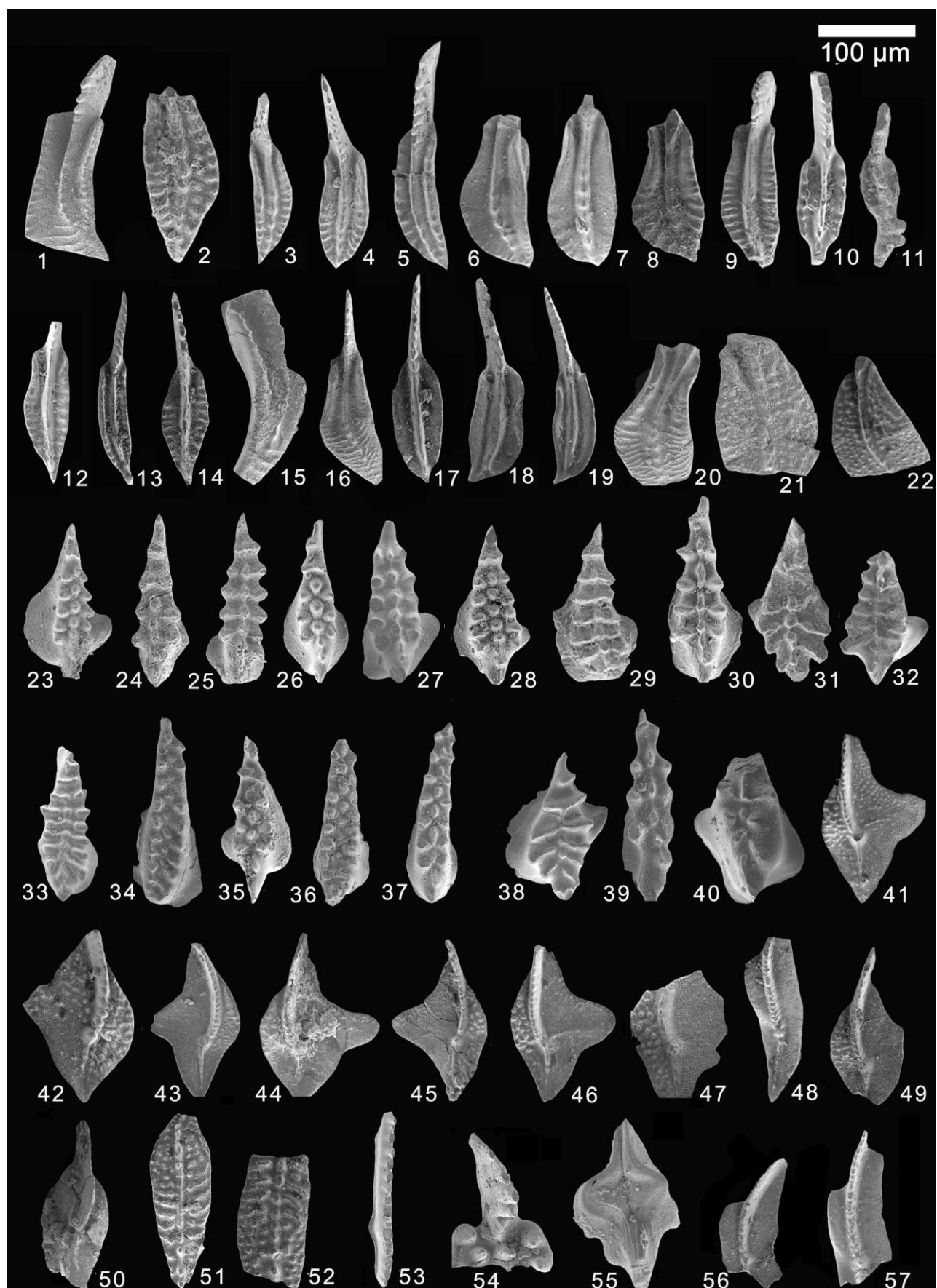
به منظور بررسی‌های زیست چینه نگاری و رخساره‌های زیستی بر روی فونای کنودونتی در برش مورد مطالعه تعداد ۷۸ عدد نمونه از ۳۶۶ متر ضخامت سازند بهرام در برش کوه بند عبدالحسین به صورت سیستماتیک برداشته شده است (شکل ۲ و جدول ۱). جنس‌های *Polygnathus* و *Icriodus* در ژیوتین و فرازین و جنس‌های *Icriodus* در فامینین غالب می‌باشند. جنس‌های *Palmatolepis* و *Ancyrognathus* و *Bispatherodus* و *Ancyrodella* نیز به صورت فرعی حضور دارند (شکل ۳).

جدول ۱: زیست‌زون‌های کنودونتی ژیوتین مربوط به نواحی عمیق و تطابق آنها با زیست‌زون‌های نواحی کم عمق

Ziegler & Sandberg, 1990; Klapper & Johnson, 1990; Ziegler, ) Klapper & Johnson, 1976; Narkiewicz & Bultynck, 2010; Narkiewicz .& Bultynck, 2011; Bultynck and Gouwy, 2008

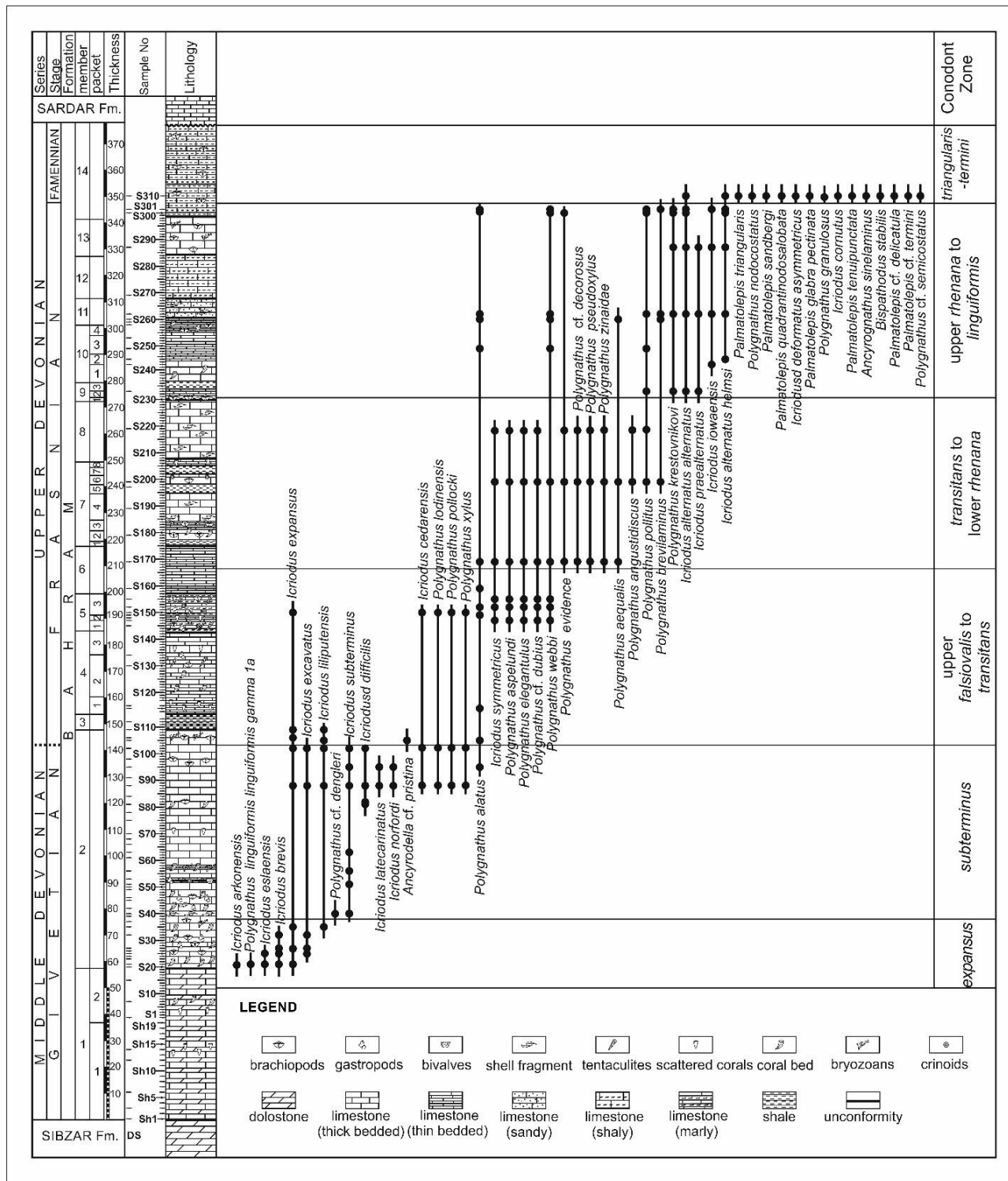
CONODONT ZONATIONS			
Serie	Stage	"STANDART" DEEP-WATER	SHALLOW TO DEEPER-WATER
D <sub>3</sub>	D <sub>3</sub> <sup>Fr</sup>	Ziegler & Sandberg (1990) Klapper & Johnson (1990) Ziegler, Klapper & Johnson (1976)	Narkiewicz & Bultynck (2011) Narkiewicz & Bultynck (2010) Bultynck & Gouwy (2008)
Mid Devonian	norrii (falsiovalis)		
	disparilis	expansus	subterminus (in this paper)
	hermanni		
	semialternans		
	ansatus	difficilis	
	rhenanus/ varcus		
	timorensis	brevis	
	hemiansatus	obliquim- arginatus	expansus (in this paper)
no conodont record			
D <sub>3</sub> Late Devonian D <sub>3</sub> <sup>Fr</sup> Frasnian			

براساس مطالعات انجام شده بر روی فونای کنودونتی در برش مورد مطالعه، ۶ زیست‌زون کنودونتی زیر برای نهشته‌های مورد مطالعه معرفی گردید:



شکل ۲: تصاویر منتخبی از مهمترین گونه های کنودوتنی شناسایی شده در این پژوهش (ادامه از صفحه قبل)

- 1- *Polygnathus linguiformis linguiformis* Hinde, 1879; γ1a morphotype; upper view, EUIC 100, sample S21, × 40;
- 2- *Polygnathus* cf. *P. dengleri* Bischoff and Ziegler, 1957; upper view, EUIC 101, sample S40, × 40.
- 3- *Polygnathus pseudoxylus* Kononova, Alekseev, Barskov and Reimers, 1996; upper view, EUIC 107, sample S169, × 40;
- 4- *Polygnathus xylus* Stauffer, 1940; upper view, EUIC 135, sample S88, × 40;
- 5- *Polygnathus alatus* Huddle, 1934; 10 upper view, EUIC 124, sample S95, × 40;
- 6- *Polygnathus aequalis* Klapper and Lane, 1985; upper view, EUIC 131, sample S169, × 40;
- 7- *Polygnathus zinaiidae* Kononova, Alekseev, Barskov and Reimers, 1996; upper view, EUIC 138, sample S169, × 40;
- 8- *Polygnathus webbi* Stauffer, 1938; upper view, EUIC 178, sample S199, × 40;
- 9- *Polygnathus* cf. *dubius* Hinde, 1879; upper view, EUIC 181, sample S199, × 40;
- 10- *Polygnathus brevilaminus* Branson and Mehl, 1934; upper view, EUIC 141, sample S301, × 40;
- 11- *Polygnathus angustidiscus* Youngquist, 1947; upper view, EUIC 142, sample S218, × 40;
- 12- *Polygnathus* cf. *decorosus* Stauffer, 1938; upper view, EUIC 148, sample S219, × 40.
- 13- *Polygnathus pollocki* Druce, 1976; upper view, EUIC 147, sample S88, × 40;
- 14- *Polygnathus lodinensis* Posler, 1969; 28 upper view, EUIC 170, sample S88, × 40;
- 15- *Polygnathus* cf. *semicostatus* Branson and Mehl, 1934; upper view, EUIC 149, sample S310, × 40;
- 16- *Polygnathus krestovnikovi* Ovnatanova, 1969; upper view, EUIC 177, sample S300, × 40;
- 17- *Polygnathus elegantulus* Klapper and Lane, 1985; upper view, EUIC 165, sample S218, × 40;
- 18- *Polygnathus aspelundi* Savage and Funai, 1980; upper view, EUIC 218, sample S218, × 40;
- 19- *Polygnathus politus* Ovnatanova, 1969; upper view, EUIC 218, sample S301, × 40.
- 20- *Polygnathus evidens* Klapper and Lane, 1985; upper view, EUIC 151, sample S300, × 40;
- 21- *Polygnathus nodocostatus* Branson and Mehl, 1934; upper view, EUIC 154, sample S310, × 40;
- 22- *Polygnathus granulosus* Muller and Muller, 1957; upper view, EUIC 190, sample S310, × 40;
- 23- *Icriodus excavatus* Weddige, 1984; upper view, EUIC 224, sample S25, × 40;
- 24- *Icriodus brevis* Stauffer, 1940; upper view, EUIC 228, sample S25, × 40;
- 25- *Icriodus eslaensis* Adrichem Boogaert, 1967; upper view, EUIC 229, sample S21, × 40;
- 26- *Icriodus cedarensis* Narkiewicz and Bultynck, 2010; upper view, EUIC 236, sample S102, × 40;
- 27- *Icriodus expansus* Branson and Mehl, 1938; upper view, EUIC 365, sample S106, × 40;
- 28- *Icriodus subterminus* Youngquist, 1974; upper view, EUIC 249, sample S40, × 40;
- 29- *Icriodus norfordi* Chatterton, 1978; upper view, EUIC 260, sample S88, × 40;
- 30- *Icriodus latecarinatus* Bultynck, 1974; upper view, EUIC 261, sample S88, × 40;
- 31- *Icriodus lilliputensis* Bultynck, 1987; upper view, EUIC 379, sample S102, × 40.
- 32- *Icriodus arkonensis* Stauffer, 1938; upper view, EUIC 271, sample S21, × 40.
- 33- *Icriodus difficilis* Ziegler, Klapper, 1976; upper view, EUIC 272, sample S102, × 40.
- 34- *Icriodus praearternatus* Sandberg, Ziegler, Dreesen, 1992; upper view, EUIC 324, sample S262, × 40;
- 35- *Icriodus cornutus* Sannemann, 1955; upper view, EUIC 277, sample S310, × 40.
- 36- *Icriodus alternatus alternatus* Branson and Mehl, 1934; upper view, EUIC 314, sample S310, × 40.
- 37- *Icriodus alternatus helmsi* Sandberg and Dreesen, 1984; upper view, EUIC 288, sample S262, × 40;
- 38- *Icriodus iowaensis* Youngquist and Peterson, 1947; upper view, EUIC 329, sample S287, × 40;
- 39- *Icriodus symmetricus* Bransoan and Mehl, 1934; upper view, EUIC 383, sample S218, × 40;
- 40- *Icriodus deformatus asymmetricus* Ji, 1989; upper view, EUIC 387, sample S310, × 40;
- 41- *Palmatolepis quadratinodosalobata* Sannemann, 1955; upper view, EUIC 396, sample S310, × 40.
- 42- *Palmatolepis triangularis* Sannemann, 1955; upper view, EUIC 409, sample S310, × 40;
- 43- *Palmatolepis aff. tenuipunctata* Sannemann, 1955; upper view, EUIC 418, sample S310, × 40;
- 44- *Palmatolepis quadratinodosalobata* Sannemann, 1955; morphotype 1; upper view, EUIC 422, sample S310, × 40;
- 45- *Palmatolepis sandbergi* Ji and Ziegler, 1993; morphotype 1; upper view, EUIC 417, sample S310, × 40;
- 46- *Palmatolepis quadratinodosalobata* Sannemann, 1955; morphotype 3; upper view, EUIC 390, sample S310, × 40.
- 47- *Palmatolepis aff. quadratinodosalobata* Sannemann, 1955; morphotype 1; upper view, EUIC 406, sample S310, × 40;
- 48, 56, 57- *Palmatolepis glabra pectinata* Ziegler 1962, Ji and Ziegler, 1993; 48-upper view, EUIC 408, sample S310, × 4;
- 56- upper view, EUIC 403, sample S310, × 40;
- 57- upper view, EUIC 421 sample S300, × 40;
- 49- *Palmatolepis cf. delicatula* Branson and Mehl, 1034; upper view, EUIC 412, sample S310, × 40;
- 50- *Palmatolepis cf. termini* Sannemann, 1955; upper view, EUIC 183, sample S310, × 40;
- 51, 52- *Ancyrognathus sinelaminus* Branson and Mehl, 1934; 51-upper view, EUIC 186, sample S310, × 40;
- 52- upper view, EUIC 184, sample S310, × 40;
- 53- *Bispathodus stabilis* Branson and Mehl, 1934, morphotype 1; upper view, EUIC 184, sample S310, × 40.
- 54, 55- *Ancyrodella cf. pristina* Khalymbadzha and Chernysheva, 1970; 54- upper view, EUIC 425, sample S102, × 40;
- 55- upper view, EUIC 292, sample S102, × 40.



شکل ۴: سنگ چینه نگاری و زیست چینه نگاری سازند بهرام در برش مورد مطالعه

نازک قرار دارد. سایر کنودونتهای این زیست‌زون عبارتند از:

*Icriodus cedarensis*, *Icriodus difficilis*, *Icriodus excavatus*, *Icriodus expansus*, *Icriodus*

محدوده سنی آن نشان دهنده مرز ژیوتین - فرازنین است که با توجه به حضور این گونه، مرز یاد شده منطبق بر آخرین لایه‌های سنگ آهکی ضخیم لایه قبل از شیل‌های

#### 4- *transitans* to early *rhenana* zones

این زیستزون با ۶۲ متر ضخامت در بردارنده نمونه‌های S230 تا S168 می‌باشد. سنگ شناسی این زیستزون شامل سنگ آهک‌های خاکستری نازک تا متوسط لایه و تناوب شیل‌ها و سنگ آهک‌های خاکستری نازک تا متوسط لایه و پرفسیل است. مرز زیرین این زیستزون منطبق بر اولین حضور *Polygnathus aequalis* Klapper & Ziegler & Lane 1985 است (transitans zone and Lane 1985) و مرز بالای آن بر اولین *Icriodus alternatus* Branson & Mehl 1934 در *Upper rhenana Zone* منطبق است که اولین حضور این گونه نشان دهنده مرز زیرین زیستزون بعدی است (Ji & Ziegler, 1993). سایر کنودونت‌های این زیستزون عبارتند از:

*Polygnathus alatus*, *Polygnathus brevilaminus*, *Polygnathus cf. decorosus*, *Polygnathus politus*, *Polygnathus pseuduxylus*, *Polygnathus webbi*, *Polygnathus zinaidae*.

#### 5- Upper *rhenana* to *linguiformis* zones

این زیستزون با ۷۰ متر ضخامت در بردارنده نمونه‌های S300 تا S230 می‌باشد. سنگ شناسی این زیستزون شامل تناوب شیل‌ها، سنگ آهک‌های خاکستری متوسط تا ضخیم لایه و سنگ آهک‌های ماسه‌ای، سنگ آهک‌های مارنی و سنگ آهک‌های خاکستری است. مرز زیرین *Icriodus alternatus* در *Upper alternatus* Branson and Mehl 1934 منطبق است (Ziegler & Sandberg, 1996) و مرز بالای آن نیز منطبق بر آخرین حضور *Polygnathus politus* Ovanatanova 1969, *Polygnathus webbi* Stauffer 1938, *Polygnathus evidens* و *alatus* Huddle 1934 در زیستزون *linguiformis* Klapper & Lane 1985

*latecarinatus*, *Icriodus lilliputensis*, *Icriodus norfordi*, *Polygnathus alatus*, *Polygnathus lodinensis*, *Polygnathus pollocki*, *Polygnathus xylus*.

#### 3- Upper *falsiovalis* to *transitans* zones

این زیستزون با ضخامت ۶۳ متر در بردارنده نمونه‌های S167 تا S102 می‌باشد. سنگ شناسی این زیستزون شامل شیل‌های نازک لایه سبز و قرمز رنگ، سنگ آهک‌های خاکستری متوسط تا ضخیم لایه، تناوب سنگ آهک‌های نازک لایه و مارن‌های قرمز رنگ و سنگ آهک‌های خاکستری نازک تا متوسط لایه است. مرز زیرین این زیستزون منطبق بر اولین حضور *Ancyrodella pristina* Khalymbadzha & Chernysheva 1970 (Ziegler & Sandberg, 1996) early *falsiovalis* zone و مرز بالای آن منطبق بر اولین حضور *Polygnathus transitans* *aequalis* Klapper and Lane 1985 است (Ziegler & Sandberg, 1996) که اولین حضور این گونه نشان دهنده مرز زیرین زیستزون بعدی است. حضور گونه‌های کنودونتی نظیر *Polygnathus* و *Icriodus expansus*, *Icriodus excavatus* و *angustidiscus* که گستره سنی آنها از ژیوتین پسین تا محدوده‌هایی از فرازنین می‌باشد به همراه گونه‌های *Polygnathus cf. aspelundi*, *Polygnathus elegantulus*, *dubius*, *Polygnathus pollocki*, *dodinensis* و *Polygnathus xylus* *webbi* که از نمونه‌های شاخص فرازنین پیشین تا زیستزون (transitans Zone) (Meyers, 1996) می‌باشند، upper *falsiovalis* and *transitans* zones به پیشنهاد زیستزون *hassi punctata* منجر گردید. زیستزون‌های *jamieae* به دلیل نبود گونه‌های شاخص، قبل تفکیک از زیستزون ارائه شده نبوده است.

*Palmatolepis quadranti-* *glabra pectinate*  
*Palmatolepis sandbergi nodosalobata*  
*Polygnathus granu-* *Palmatolepis tenuipunctata*  
*Polygnathus nodostatus losus* نیز همچنین شاخص فامین پیشین، زیست‌زون *crepida* یا معادل بخش‌هایی از آن یعنی زیست‌زون *termini* می‌باشد (جدول ۲).

است (Ziegler & Sandberg, 1996) که آخرین حضور این گونه‌ها نشان دهنده مرز زیرین زیست‌زون بعدی است. سایر کنودونت‌های این زیست‌زون عبارتند از: *Icriodus alternatus alternatus*, *Icriodus alternatus helmsi*, *Icriodus iowaensis*, *Polygnathus evidens*, *Polygnathus aequalis*, *Polygnathus alatus*, *Polygnathus brevilaminus*, *Polygnathus politus*, *Polygnathus webbi*.

### زیست رخساره‌های کنودونتی

در بررسی زیست رخساره‌های کنودونتی از مدل‌های ارائه شده توسط Weddige & Ziegler (1976), Sandberg & Ziegler (1978) Sandberg & Ziegler (1976) (1999) Ziegler & Weddige (1984) و Dreesen استفاده شده است (شکل ۵). به طور کلی در برش مورد مطالعه زیست رخساره‌های کنودونتی از رخساره Icriodid- *Polygnathid*- تا رخساره *Icriodus-dominated* که در آن *Polygnathus* جنس غالب است *Polygnathid-dominated* در نوسان می‌باشد. در برخی از افق‌ها فراوانی این دو جنس به ۱۰۰٪ می‌رسد و در برخی از افق‌ها فراوانی آنها به طور قابل ملاحظه‌ای کاهش می‌یابد. برخی از جنس‌های نظری *Ancyrodella* از فراوانی نسبتاً کمی (از <۱۰ عنصر کنودونتی در هر نمونه تا حدود >۵۰ عنصر کنودونتی در هر نمونه) برخوردارند.

### 6- *triangularis to termini zones*

این زیست‌زون با ۱۰ متر ضخامت در بردارنده نمونه‌های S310 تا S300 می‌باشد. سنگ شناسی این محدوده تنایی از مارن‌های قرمز رنگ با میان لایه‌های سنگ آهکی نودولار است. مرز زیرین این زیست‌زون منطبق بر آخرین حضور *Polygnathus politus* Ovanatanova 1969 *Polygnathus webbi* Stauffer 1938 *Polygnathus evidens* و *alatus* Huddle 1934 *Palmatolepis* و اولین حضور Klapper & Lane 1985 *early triangularis* در *triangularis* Sannemann 1955 (Ji & Ziegler, 1993) و مرز بالای آن نیز در این برش توسط بناپیوستگی محدود شده است. همچنین *Icriodus alternatus helmsi* نظیر *Icriodus alter-* *Bispatherodus* *stabilis* *sinelamina* *Polygnathus termini* و *Polygnathus semicostatus* عمولاً شاخص زون کنودونتی *termini* می‌باشد. سایر کنودونت‌های این زیست‌زون نظیر *Ancryognathus*

PALEOTECTONIC SETTING	OFFSHORE	NEARSHORE	"BACKSHORE"						SABKA	COASTAL PLAIN
			MUDGY OUTER SHELF	SANDY INNER SHELF	SHOAL	BACK MOUND	TIDAL FLAT	BARRIER		
CONODONT BIOFACIES	I Palmatolepid	II Palmatolepid- Polygnathid	III Polygnathid- "Icriodid"	IV Pelekysgnathid	Pelekysgnathid	VI, VIII, ? Scaphignathid, Pandorinellimid, +?				
ICRIODONTID FAUNA	Rare <i>Icriodus</i>	Both Types of Pelekysgnathus (Transported)	Triple - Row Pelekysgnathus	Both Types of Pelekysgnathus (Indigenous)	Single - Row Pelekysgnathus	UNKNOWN				
ENVIRONMENTAL RECONSTRUCTION										

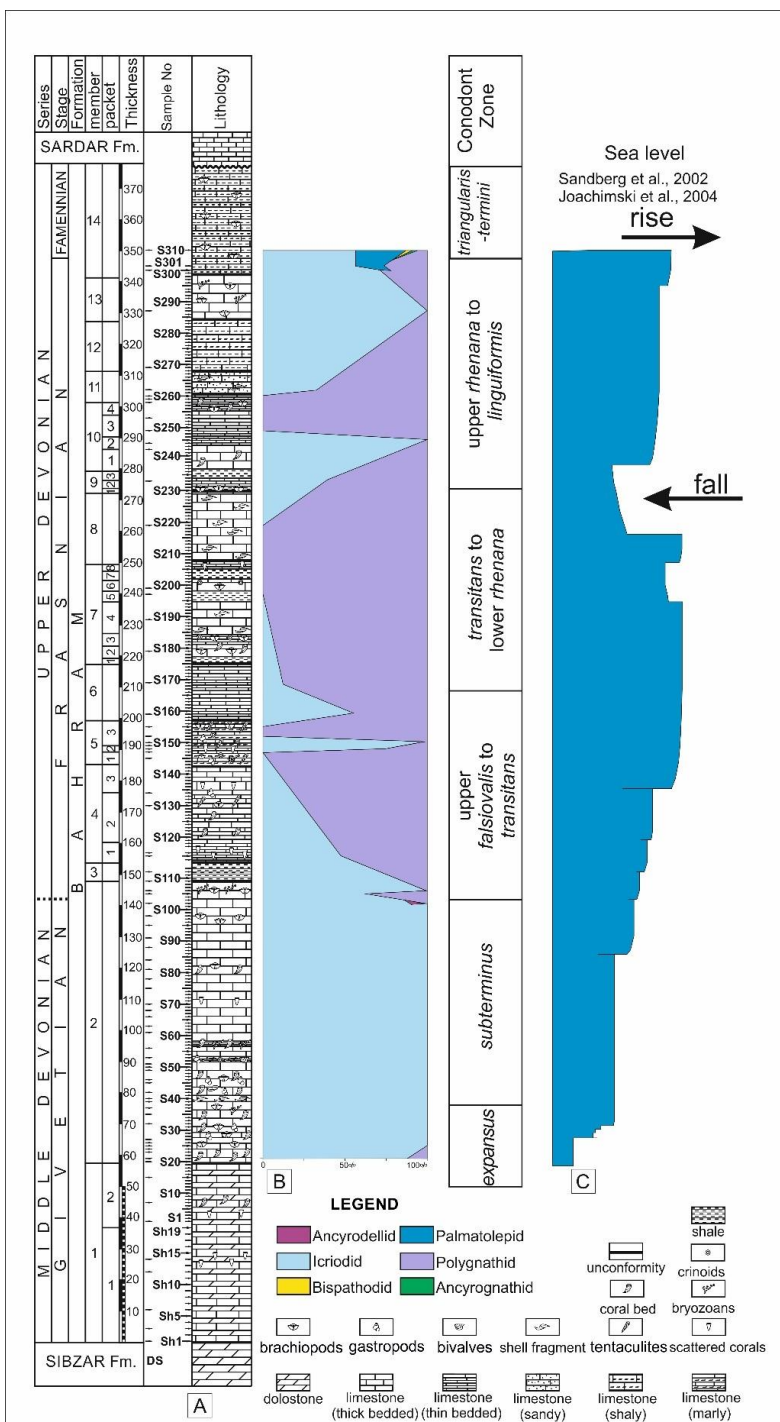
شکل ۵: مدل زیست رخساره‌ای کنودونتی دونین پسین (Sandberg & Dreesen, 1984)

## جدول ۲: توزیع فراوانی کنودونت‌ها در برش مورد مطالعه

Kuh-e-Bande-Abdol-Hossein - Anarak	TOTAL
<i>Anchyrodella cf. pristina</i>	2
<i>Ancyrognathus sinelaminus</i>	2
<i>Bispathodus stabilis</i>	3
<i>Icriodus alternatus helmsi</i>	3
<i>Icriodus alt. alternatus</i>	26
<i>Icriodus cavaensis</i>	123
<i>Icriodus rovoensis</i>	46
<i>Icriodus praetermittens</i>	71
<i>Icriodus brevis</i>	6
<i>Icriodus cedrensis</i>	14
<i>Icriodus iliipentensis</i>	46
<i>Icriodus latecarinatus</i>	12
<i>Icriodus subterminus</i>	40
<i>Icriodus cornutus</i>	9
<i>Icriodus difficilis</i>	9
<i>Icriodus eslaensis</i>	19
<i>Icriodus expansus</i>	11
<i>Icriodus excavatus</i>	176
<i>Icriodus artkonensis</i>	17
<i>Icriodus deformatus asymmetricus</i>	8
<i>Palmatolepis glabra pectinata</i>	4
<i>Palmatolepis cf. delicatula</i>	5
<i>Palmatolepis cf. termini</i>	5
<i>Palmatolepis triangularis</i>	5
<i>Palmatolepis quadratinodosa lobata</i>	5
<i>Palmatolepis sandbergi</i>	5
<i>Palmatolepis tenuipunctata</i>	1
<i>Polygnathus evadens</i>	1
<i>Polygnathus breviaminus</i>	167
<i>Polygnathus aequalis</i>	3
<i>Polygnathus alatus</i>	7
<i>Polygnathus krestovnikovi</i>	35
<i>Polygnathus angustidiscus</i>	6
<i>Polygnathus granulosa</i>	6
<i>Polygnathus nodocostatus</i>	6
<i>Polygnathus zinidae</i>	27
<i>Polygnathus cf. semicostatus</i>	8
<i>Polygnathus ling. linguliformis y 1a</i>	8
<i>Polygnathus pseudoxylus</i>	5
<i>Polygnathus politus</i>	30
<i>Polygnathus weebii</i>	61
<i>Polygnathus xylus</i>	148
unassigned elements	20
TOTAL	648

تغییرات زیست رخساره‌ها به صورت جزئی امکان پذیر نمی‌باشد. با توجه به نبود نهشته‌های تخریبی و حضور گونه‌های مختلف کنودونتی پالماتولپید (البته با فراوانی نسبتاً کم)، احتمالاً برش مورد مطالعه نسبت به برش‌های مطالعه شده قبلی در سایر بخش‌های حوضه اصفهان از عمق بیشتری برخوردار بوده است. همچنین تغییرات عمق آب نیز با تغییرات سطح آب جهانی مطابقت نسبی دارد (شکل ۶).

بر اساس رخساره‌های مطالعه شده، به طور کلی زیست‌زون‌هایی با رخساره *Icriodus*-dominated مربوط به نواحی کم عمق و رخساره *Polygnathus*-dominated تا نواحی دور از ساحل می‌باشند و در بخش‌های انتهایی فامینین به دلیل وجود تعداد نسبتاً قابل قبول پالماتولپیدها رخساره‌های زیستی تا دریای باز نیز قابل تعمیم می‌باشند، ولی به دلیل تعداد کم کنودونت‌ها در هر نمونه بررسی

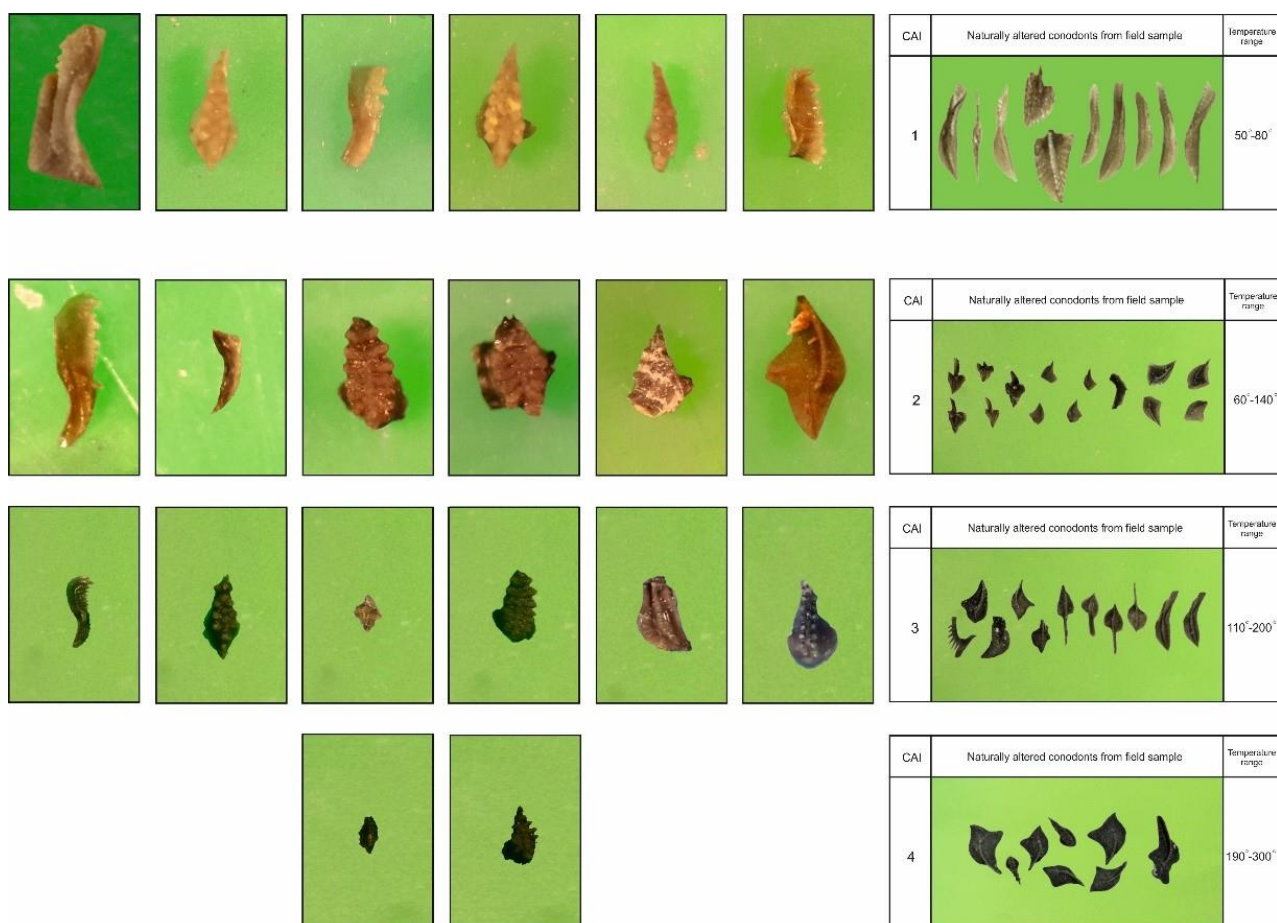


شکل ۶: تغییرات زیست رخساره‌ای کنودونت‌ها و تغییرات سطح آب در برش مورد مطالعه

دمای لازم جهت حضور یا نبود مواد هیدروکربوری را بررسی نمود (Königshof *et al.*, 2003). بر طبق جداول استاندارد، شاخص تغییر رنگ کنودونت‌ها در برش مورد مطالعه بین ۱/۵ تا ۴/۵ می‌باشد که حرارت ۶۰ تا ۵۰۰ درجه را نشان می‌دهند. عناصر کنودونتی در زیست‌زون‌های ژیوتین پسین دارای شاخص CAI=1.5-2 و رنگ روشن، در فرازینین تیره با شاخص CAI=4-4.5 و در فامینین روشن بوده و شاخص CAI=1.5-2 را نشان می‌دهند (شکل ۷).

### شاخص تغییر رنگ کنودونت‌ها

تغییر رنگ کنودونت‌ها فرآیندی بی‌بازگشت است که به سه عامل عمق، میزان زمان دفن شدگی و گرادیان حرارتی وابسته است (Epstein *et al.* 1977). با بررسی دقیق ریزساختارهای موجود در عناصر کنودونتی می‌توان علت تغییر رنگ آنها را شناسایی کرد و از طرفی دیگر با بررسی شاخص تغییر رنگ کنودونت‌ها می‌توان بلوغ بافتی، دگرگونی و میزان حرارت افق‌های کنودونت‌دار و در نهایت

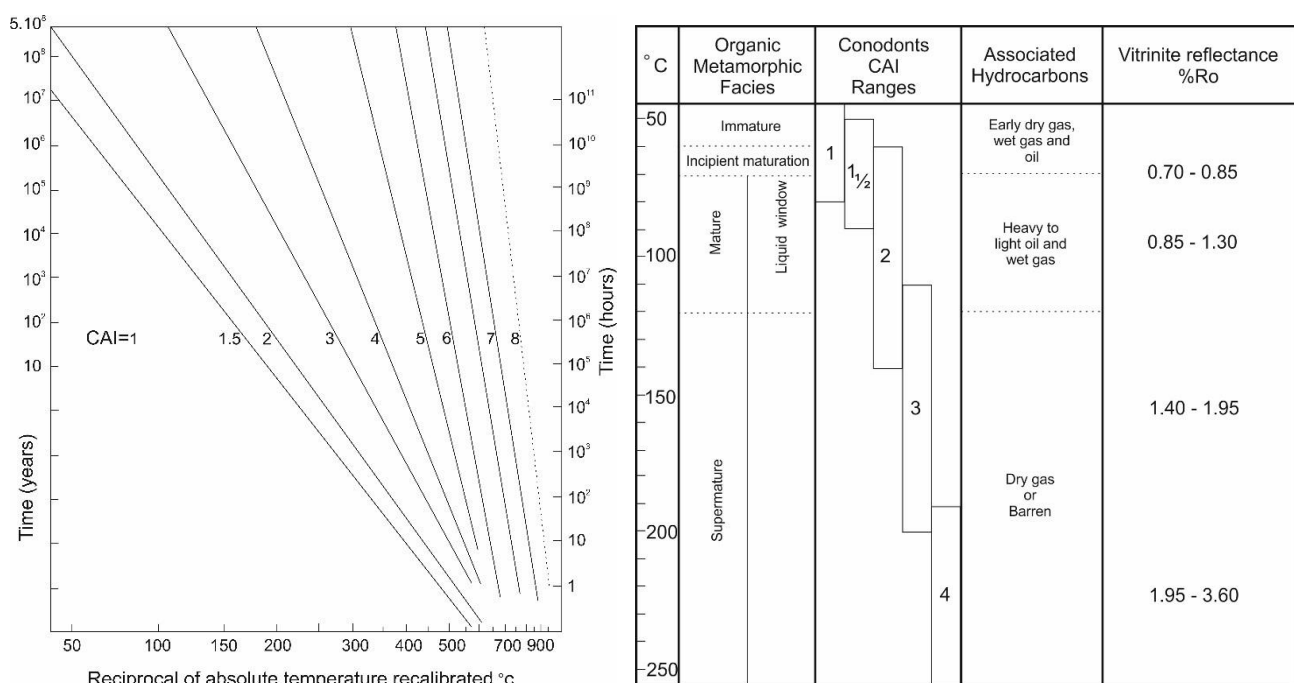


شکل ۷: تعیین رنگ عناصر کنودونتی و مقایسه آنها با شاخص‌های تغییر رنگ جهانی.

بیسپاتودیدها و پالماتولپیدها در برش کوه بند عبدالحسین انارک می‌توان نتیجه گرفت که این برش شباهت حوضه‌ای بیشتری با کنودونت‌های حوضه طبس دارد و نسبت به

### نتیجه‌گیری

باتوجه به نبود نهشته‌های تخریبی در سازند و بهرام وجود نسبی کنودونت‌هایی نظیر ایکریودیدها، پلی‌گناتیدها،



شکل ۹: نمودار رابطه زمان رسوب گذاری و درجه حرارت  
(Epstian et al., 1977)

شکل ۸: جدول شاخص تغییر رنگ کنودونت‌ها در ارتباط با درجات رخساره‌های دگرگونی زیستی و رابطه آن با وجود یا نبود هیدروکربور (Epstian et al., 1977)

### سپاس گزاری

نگارندگان از حمایت‌های مالی و معنوی معاونت پژوهش و فناوری دانشگاه اصفهان قدردانی می‌نمایند. همچنین از حمایت‌های علمی و لجستیکی گروه زمین شناسی دانشگاه اصفهان سپاس گزارند.

برش‌های مطالعه شده در حوضه اصفهان دارای عمق بیشتری است. بررسی زیست رخساره‌های کنودونتی حاکی از افزایش عمق حوضه به سمت انتهای فرازین بوده و شاخص تغییر رنگ کنودونت‌ها نیز حاکی از کاهش گرادیان حرارتی و دگرگونی در فامینین نسبت به فرازین می‌باشد.

### منابع

- بهرامی، ع.، ۱۳۹۰. زیست چینه نگاری نهشته‌های دونین پایانی - کربونیfer آغازین در شرق ایران بر اساس کنودونت‌ها. رساله دکتری، دانشگاه اصفهان، ۲۰۵ ص.
- بختیاری، ا.ح.، ۱۳۹۴. اطلس راه‌های ایران، مقیاس ۱:۱۰۰۰۰۰۰. مؤسسه جغرافیایی و کارتوگرافی گیاتاشناسی، ۲۸۸ ص.
- خسرو تهرانی، خ.، ۱۳۸۶. چینه شناسی و رخدادهای زمین شناسی. انتشارات دانشگاه تهران، ۴۶۲ ص.
- هوشمندزاده، ع.، نبوی، م.ح.، ۱۳۶۷. سنگ‌های پر کامبرین - کامبرین پایین در ایران. مجموعه مقالات سمینار بررسی ذخایر و توان معدنی استان یزد.

- هویدا، م.، بهرامی، ع.، یزدی، م.، ۱۳۹۵. زیست چینه نگاری و زیست رخساره‌های نهشته‌های دونین سازند بهرام در برش کوه شوراب (جنوب غرب دامغان) بر اساس فونای کنودونتی. پژوهش‌های چینه نگاری و رسوب‌شناسی، ۶۴ (۳): ۷۵-۹۲.
- Adrichem Boogaert, H.A., 1967. Devonian and Lower Carboniferous conodonts of the Cantabrian Mountains (Spain) and their stratigraphic application. *Geologische Mededelingen*, 39: 129–192.
- Aghanabati, A., 2010. Stratigraphy of Iran. *Geological Survey of Iran*, Tehran, 1297 p.
- Almasian, M., 1997. Tectonics of the Anarak area (Central Iran). Ph.D. thesis, *University of Islamic Azad, Science and Research Unit*, 164 p.
- Bahrami, A., Boncheva, I., Königshof, P., Yazdi, M., & Ebrahimi Khan-Abadi, A., 2014a. Mississippian/Pennsylvanian boundary interval in Central Iran. *Journal of Asian Earth Sciences*, 92: 187–200.
- Bahrami, A., Zamani, F., Corradini, C., Yazdi, M., & Ameri, H., 2014b. Late Devonian (Frasnian) Conodonts from the Bahram Formation, in the Sar-e-Ashk section, Kerman province, Central-East Iran Microplate. *Bollettino della Società Paleontologica Italiana*. 53 (3): 179–188.
- Bahrami, A., Königshof P., Boncheva, I., Yazdi, M., Ahmadi Nahre Khalaji, M., & Zarei, E., 2018. Conodont biostratigraphy of the Kesheh and Dizlu sections, and the age range of the Bahram Formation in central Iran. *Palaeobiodiversity and Palaeoenvironments*, 98: 315–329.
- Bahrami, A., Königshof, P., Boncheva, I., Tabatabaei, M.S., Yazdi, M., & Safari, Z., 2015. Middle Devonian (Givetian) conodonts from the northern margin of Gondwana (Soh and Natanz regions, north-west Isfahan, Central Iran): biostratigraphy and palaeoenvironmental implications. *Palaeobiodiversity and Paleoenvironments*, 95 (4): 555–577.
- Berberian, M., & King, G.C.P., 1981. Towards a paleogeography and tectonic evolution of Iran. *Canadian Journal of Earth Sciences*, 18: 210–265.
- Bischoff, G., & Ziegler, W., 1957. Die Conodontenchronologie des Mitteldevons und des tiefsten Oberdevons. *Abhandlungen des Hessischen Landesamtes für Bodenforschung*, 22: 1–136.
- Branson E.B., & Mehl, M.G., 1934. Conodonts from the Grassy Creek Shale of Missouri. *The University of Missouri Studies*, 8: 171–259.
- Branson, E.B., 1934. Conodonts from the Hannibal Formation of Missouri. *The University of Missouri Studies*, 8 (4): 301–343.
- Brett, C.E., Baird, G.C., Bartholomew, A.J., DeSantis, M.K., & Ver Straaten, C.A., 2011. Sequence stratigraphy and a revised sea-level curve for the Middle Devonian of eastern North America. In: Brett, C.E., Schindler, E., & Königshof, P. (eds.), Sea-level cyclicity, climate change, and bioevents in Middle Devonian marine and terrestrial environments. *Palaeogeography, Palaeoclimatology, Palaeoecology*, 304 (1–2): 21–53.
- Bultynck, P., 1974. Conodontes de la Formation de Fromelennes du Givetien del'Ardenne franco-belge. *Bulletin de l'Institut Royal des Sciences Naturelles de Belgique. Sciences de la Terre*, 50: 1–30.
- Bultynck, P., 1987. Pelagic and neritic conodont successions from the Givetian of pre-Sahara Morocco and the Ardennes. *Bulletin van het Koninklijk Belgisch Instituut voor Natuurwetenschappen, Aardwetenschappen*, 57: 149–181.
- Bultynck, P., & Gouwy, S., 2008). Reference sections for the Middle Givetian substage. *Subcommission on Devonian Stratigraphy Newsletter*, 23: 21–26.
- Chatterton, B.D.E., 1978. Aspects of late Early and Middle Devonian conodont biostratigraphy of western and northwestern Canada. In: C.R., Stelck, & Chatterton, B.D.E., (eds.), Western and Arctic Canadian biostratigraphy. *Geological Association of Canada, Special Paper*, 18: 161–231.
- Clausen, C.D., Weddige, K., & Ziegler, W., 1993. Devonian of the Rhenish Massif. *Subcommission on Devonian Stratigraphy, Newsletter*, 10, 18–19.

- Corradini, C., 1998. Famennian conodonts from two sections near Vilasalto. In: Serpagli, E., (ed.), Seventh International Conodont Symposium held in Europe, Sardegna Field Trip Guidebook, June 18-22, 1998. *Giornale die Geologica, Serie 3a, Special Issue*, 60: 122–135.
- Ernst, A., Königshof, P., Bahrami, A., Yazdi, M., & Boncheva, I., 2017. A Late Devonian (Frasnian) bryozoan fauna from the central Iran. In: Mottequin, B., Slavik, L., & Königshof, P., (eds.), Climate change and biodiversity patterns in the mid-Palaeozoic. *Proceedings-Volume IGCP 596/SDS Meeting Brussels, Palaeobiodiversity and Palaeoenvironments*, 97 (3): 541–552.
- Flügel, E., & Kiessling, W., 2002. Patterns of Phanerozoic reef crises. In: Kiessling, W., Flügel, E., & Golonka, J., (eds.), Phanerozoic reef Patterns. *SEPM Special Publication*, 72: 691–733.
- Hairapetian, V., Ghobadi Pour, M., Popov, L.E., Hejazi, S.H., & Holmer, L.E., 2015. Ordovician of the Anarak Region: implications in understanding Early Palaeozoic history of Central Iran. *Stratigraphy*, 12 (2): 22–30.
- Hinde, G.J., 1879. On conodonts from the Chazy and Cincinnati group of the Cambro-Silurian and from the Hamilton and Genesee shale divisions of the Devonian in Canada and the United States. *Geological Society of London Quarterly Journal*, 35 (3): 351–369.
- Houshmandzadeh, A., 1977. Metamorphism et granitisation du massif Chapedony (Iran Central). *Ph.D. Thesis, Université Scientifique et Medicale de Grenoble, France*, 242 p.
- Huddle, J.W., 1934. Conodonts from the New Albany Shale of Indiana. *Bulletin America Paleontology*, 21: 1–136.
- Ji, Q., 1989. On the Frasnian Conodont Biostratigraphy in the Guilin Area of Guangxi, South China. *Courier Forschungsinstitut Senckenberg*, 117: 303–322.
- Ji, Q., & Ziegler, W., 1993. The Lali section: an excellent reference section for Late Devonian in South China. *Courier Forschungsinstitut Senckenberg*, 157: 1–183.
- Joachimski, M.M., Breisig, S., Buggisch, W., Mawson, R., Gereke, M., Morrow, J. R., Day, J., & Weddige, K., 2009. Devonian climate and reef evolution: insights from oxygen isotopes in apatite. *Earth and Planet Science Letters*, 284: 599–609.
- Johnson, J.G., Klapper, G., & Sandberg, C.A., 1985. Devonian eustatic fluctuations in Euramerica. *Geological Society of America Bulletin*, 69: 567–587.
- Khalymbadzha, V.G., & Chernysheva, N.G., 1970. Conodont genus *Ancyrodella* from Devonian deposits of the Volga-Kamsky area and their stratigraphic significance: Biostratigraphy and paleontology of Paleozoic deposits of the eastern Russian Platform and western pre-Urals. *Kazan University*, 1: 81–103 (in Russian)
- Klapper, G., & Lane, H.R., 1985. Upper Devonian (Frasnian) conodonts of the Polygnathus biofacies, N.W.T., Canada. *Journal of Paleontology*, 59: 904–951.
- Klapper, G., & Ziegler, W., 1979. Devonian conodont biostratigraphy. *Special Paper on Palaeontology*, 23: 199–224.
- Königshof, P., 2003. Conodont deformation patterns and textural alteration in Paleozoic conodonts: examples from Germany and France: *Senckenbergian alethae*, 149–156.
- Königshof, P., Carmichael, S.K., Waters, J., Jansen, U., Bahrami, A., Boncheva, I., & Yazdi, M., 2017. Palaeoenvironmental study of the Palaeotethys Ocean: the Givetian-Frasnian boundary of a shallow-marine environment using combined facies analysis and geochemistry (Zefreh Section/Central Iran). In: Mottequin, B., Slavik, L., & Königshof, P., (eds.), Climate change and biodiversity patterns in the mid-Paleozoic. *Palaeobiodiversity and Palaeoenvironments*, 97 (3): 517–540.
- Königshof, P., Da Silva, A.C., Suttner, T.J., Kido, E., Waters, J., Carmichael, S.K., Jansen, U., Pas, D., & Spassov, S., 2016. Shallow water facies setting around the Kacak Event: a multidisciplinary approach.

- In: Becker, R.T., Königshof, P., & Brett C.E., (eds.), Devonian climate, sea level and evolutionary events. *Geological Society London, Special Publication*, 423: 171–199.
- Kononova, L.I., Alekseev, A.S., Barskov, I.S., & Reimers, A.N., 1996. New species of polygnatoid Conodonts from Frasnian of Moskow syneclide. *Paleontologicheskii Journal*, 3: 94–99.
- Lensch, G., & Davoudzadeh, M., 1982. Ophiolites in Iran. *Neues Jahrbuch für Geologie und Paläontologie Monatshefte*, 5: 306–320.
- Leven, E.J., & Gorgij, M.N., 2006. Upper Carboniferous–Permian Stratigraphy and Fusulinids from the Anarak Region, Central Iran. *Russian Journal of Earth Sciences*, 8, 1–25.
- Lüddeke, F., Hartenfels, S., & Becker, R.T., 2017. Conodont biofacies of a monotonous middle Famennian pelagic carbonate succession (Ballberg Quarry, northern Rhenish Massif). In: Mottequin, B., Slavic, L., & Königshof, P., (eds.), Climate change and biodiversity patterns in the mid-Paleozoic. *Palaeobiodiversity and Palaeoenvironments*, 97 (3): 591–614.
- Motaghi, K., Tatar, M., Priestley, K., Romanelli, F., Doglioni, C., & Panza, G.F., 2015. The deep structure of the Iranian Plateau. *Gondwana Research*, 28 (1), 407–418.
- Mottequin, L., Slavic, L., & Königshof, P., (eds.), 2017. Increasing knowledge on biodiversity patterns and climate changes in Earth's history by international cooperation: introduction to the proceedings IGCP 596/SDS Meeting Brussels (2015). In B. Mottequin, L. Slavic & Königshof, P., (eds.), Climate change and biodiversity patterns in the mid-Paleozoic. *Palaeobiodiversity and Palaeoenvironments*, 97 (3): 367–374.
- Müller, K.J., & Muller, E.M., 1957. Early Upper Devonian (Indipendence) Conodonts from Iowa, part I. *Journal of Paleontology*, 31: 1069–1108.
- Narkiewicz, K., 2011. Biostratygrafia konodontowa Dewonu Środkowego obszaru Radomsko-Lubelskiego. *Prace Państwowego Instytutu Geologicznego*, 196: 147–192.
- Narkiewicz, K., & Bultynck, P., 2007. Conodont biostratigraphy of shallow marine Givetian deposits from the Radom-Lublin area, SE Poland. *Geological Quarterly*, 51: 419–442.
- Narkiewicz, K., & Bultynck, P., 2010. The Upper Givetian (Middle Devonian) subterminus conodont zone in North America, Europe, and North Africa. *Journal of Paleontology*, 84 (4): 588–625.
- Ovanatanova, N.S., 1969. New Upper Devonian conodonts from the central region of the Russian platform and of the Timan. *Vsesoyuznyy Nauchno-Issledovatel'skiy Geologizvedochnyy Neftyanoy Institut, Trudy*, 93: 139–141.
- Reyer, D., & Mohafez, S., 1970. Une premiere contribution des accords NIOC–ERAP à la connaissance géologique de l'Iran. *Review Institute de France Petrology*, 25: 979–1014.
- Sandberg, C.A., 1976. Conodont biofacies of Late Devonian polygnathus styriacus Zone in western United State. In Barnes, C.R., (ed.), Conodont Paleoecology. *Geological Association of Canada, Special Paper*, 15: 171–186.
- Sandberg, C.A., & Dreesen, R., 1984. Late Devonian icriodontid biofacies models and alternate shallow water Conodont zonation. In: Clark, D.L., (ed.), Conodont biofacies and provincialism. *Geological Society of America, Special Paper*, 196: 143–178.
- Sandberg, C.A., Morrow, J.R., & Ziegler, W., 2002. Late Devonian sea-level changes, catastrophic events, and mass extinctions. In: Koeberl, C., & MacLeod, K.G., (eds.), Catastrophic Events and Mass Extinctions: Impacts and Beyond. Boulder, Colorado, *Geological Society of America Special Paper*, 356: 473–487.
- Sandberg, C.A., Ziegler, W., Dreesen, R., & Butler, J.L., 1992. Conodont Biochronology, Biofacies, Taxonomy, and Event-Stratigraphy around Middle Frasnian Lion Mudmound (F2h)-Frasnes. Belgium, *Courier Forschungsinstitut Senckenberg*, 84 p.
- Sannemann, D., 1955. Oberdevonische Conodonten (to IIa). *Senckenbergiana Lethaea*, 26: 123–156.

- Scotese, C.R., 2001. Atlas of Earth-History. Paleogeography, Vol. 1. Arlington, Texas. Paleomap Project. 52p.
- Sharkovski, M., Susov, M., & Krivyakin, M., 1984. Geology of the Anarak area (Central Iran), Explanatory text of the Anarak quadrangle map. *Geological Survey of Iran, Scale*, 1: 250.000, V/O Technoexport, Report, 19. Tehran, 143 p.
- Soffel, H.C., & Förster, H.G., 1984. Polar wander path of the Central-East-Iran Microplate including new results. *Neues Jahrbuch für Geologie und Paläontologie, Abhandlungen*, 168 (2/3): 165–172.
- Soffel, H.C., Davoudzadeh, M., Rolf, C., & Schmidt, S., 1996. New palaeomagnetic data from Central Iran and a Triassic palaeoreconstruction. *Geologische Rundschau*, 85: 293–302.
- Söte, T., Hartenfels, S., & Becker, R.T., 2017. Uppermost Famennian stratigraphy and facies development of the Reigern Quarry near Hachen (northern Rhenish Massif, Germany). In: Mottequin, B., Slavic, L., & Königshof, P., (eds.), Climate change and biodiversity patterns in the mid-Paleozoic. *Palaeobiodiversity and Palaeoenvironments*, 97 (3): 633–654.
- Spalletta, C., Perri, M.C., Corradini, C., & Over, D.J., 2017. Famennian (Upper Devonian) conodont zonation: revised global standard. *Bulletin of Geosciences*, 92 (1): 31–57.
- Stauffer, C.R., 1938. Conodonts of the Olentangy Shale. *Journal of Paleontology*, 12: 411–433.
- Stauffer, C.R., 1940. Conodonts from the Devonian and associated clays of Minnesota. *Journal of Paleontology*, 14 (2): 417–435.
- Szulczewski, M., 1971. Upper Devonian conodonts, stratigraphy and facial development in the Holy Cross Mts. *Acta Geologica Polonica*, 21: 1–130.
- Weddige, K., 1984. Zur Stratigraphie und Paläogeographie des Devons und Karbons von NE Iran. *Senckenbergiana Lethaea*, 65: 179–223.
- Weddige, K., & Ziegler, W., 1976. The significance of *Icriodus: Polygnathus* ratios in limestones from the type Eifelian, Germany. *Geological Association of Canada Special Paper*, 15: 187–199.
- Wendt, J., Hayer, J., & Karimi Bavandpour, A., 1997. Stratigraphy and depositional environment of Devonian sediments in northeast and east-central Iran. *Neues Jahrbuch für Geologie und Paläontologie, Abhandlungen*, 206: 277–322.
- Wendt, J., Kaufmann, B., Belka, Z., Farsan, N., & Karimi Bavandpur, A., 2002. Devonian/Lower Carboniferous stratigraphy, facies patterns and palaeogeography of Iran. Part I. Southeastern Iran. *Acta Geologica Polonica*, 52: 129–168.
- Wendt, J., Kaufmann, B., Belka, Z., Farsan, N., & Karimi Bavandpur, A., 2005. Devonian/Lower Carboniferous stratigraphy, facies patterns and palaeogeography of Iran. Part II. Northern and Central Iran. *Acta Geologica Polonica*, 55: 31–97.
- Witzke, B.J., Ludvigson, G.V., & Day, J., 1996. Introduction: Paleozoic applications of sequence stratigraphy. *Geological Society of America Special Papers*, 306: 1–6.
- Yazdi, M., 1999. Late Devonian-Carboniferous conodonts from Eastern Iran. *Rivista Italiana di Paleontologia e Stratigrafia*, 105 (2): 167–200.
- Youngquist, W.L., 1947. A new Upper Devonian conodont fauna from Iowa. *Journal of Paleontology*, 21 (2): 95–112.
- Youngquist, W.L., & Peterson, R.F., 1947. Conodonts from the Sheffield Formation of north-central Iowa. *Journal of Paleontology*, 21: 242–253.
- Zahedi, M., 1973. Etude géologique de La région de Soh (W de Iran central). *Geological Survey of Iran*, 27: 197.
- Ziegler, W., & Huddle, J.W., 1969. Die Palmatolepis glabra-Grupe (Conodonta) nach der Revision der Typen von Ulrich and Bassler durch J.W. Huddle. *Geologie Rheinland und Westfalen*, 16: 377–386.

- Ziegler, W., & Klapper, G., 1976. Systematic paleontology. In W., Ziegler, G., Klapper, & J.G., Johnson, (eds.), Redefinition and subdivision of the varcus-Zone (Conodonts, Middle-? Upper Devonian) in Europe and North America. *Geologica et Palaeontologica*, 10: 117–127.
- Ziegler, W., & Sandberg, C.A., 1984. Palmatolepis-based revision of upper part of standard Late Devonian conodont zonation. In: Clark, D.L., (ed.), Conodont biofacies and provincialism. *Geological Society of America Special Paper*, 179–194.
- Ziegler, W., & Sandberg, C.A., 1990. The Late Devonian Standard Conodont Zonation. *Courier Forschungsinstitut Senckenberg*, 121: 1–115.
- Ziegler, W., & Sandberg, C.A., 1996. Reflexions on the Frasnian and Famennian Stage boundary decisions as a guide to future deliberations. *Newsletters on Stratigraphy*, 33: 157–180.
- Ziegler, W., & Weddige, K., 1999. Zur Biologie, Taxonomie und Chronologie der Conodonten. *Paläontologische Zeitschrift*, 73: 1–38.

## Biostratigraphy, biofacies and conodont CAI (Conodont Alteration Index) of the Middle-Late Devonian deposits in Kuh-e-Bande-Abdol-Hossein (SE Anarak)

Shakeri, B.<sup>1</sup>, Bahrami, A.<sup>2\*</sup>, Vaziri-Moghaddam, H.<sup>3</sup>, Konigshof, P.<sup>4</sup>

1- M.Sc in Stratigraphy and Paleontology, Department of Geology, Faculty of Sciences, University of Isfahan, Isfahan, Iran

2- Associate professor, Department of Geology, Faculty of Sciences, University of Isfahan, Isfahan, Iran

3- Professor, Department of Geology, Faculty of Sciences, University of Isfahan, Isfahan, Iran

4- Professor, Senckenberg Research Institute and Natural History Museum, Frankfort, Germany

\*Email: bahrami\_geo@yahoo.com

### Introduction

The Kuh-e-Bande-Abdol-Hossein section, which is located southeast of Anarak, was first mentioned by Reyer and Mohafez (1970) and later examined in more detail by Sharkovski *et al.* (1984) and Wendt *et al.* (2005). We re-examined this section because it is mainly composed of sedimentary rocks ranging from Ordovician to Permian age (Hairapetian *et al.* 2015; Lensch and Davoudzadeh 1982). Herein we focus on the Middle to Upper Devonian strata in order to establish the biostratigraphic framework of this section by means of conodonts. We also briefly discuss the conodont biofacies of the Kuh-e-Bande-Abdol-Hossein section.

### Material and methods

The measured profile is located approximately 32 km southeast of Anarak and 180 km northeast of Isfahan (E 53° 52' 55" and N 33° 10' 90" WGS coordinates). The entire section has a thickness of approximately 1200 m. In order to improve the biostratigraphy of the Kuh-e- Bande-Abdol-Hossein section, 78 conodont samples of roughly 2 to 3 kg each were taken from the 366m of carbonates and processed by conventional methods using 10% formic acid. Washed residues were sieved and separated into three fractions, and conodonts were handpicked utilizing a microscope. Depending on the depositional facies setting, the number of conodonts per sample is highly variable, e.g., in dolostones, no conodonts were found. In contrast, in shallow-water limestones, a good number of species occurred in separate beds. A total number of 1917 conodonts were obtained from the residues, which led to the identification of 41 species and subspecies within six genera.

### Discussion

Based on the revealed conodont data, six conodont zones were discriminated as follow:

*expansus* zone, *subterminus* zone, Upper *falsiovalis* to *transitans* zones, *transitans* to lower *rhenana* zones, upper *rhenana* to *linguiformis* zones, *triangularis* to *termini* zones. Bahram Formation at the studied profile spans late Givetian (*expansus* zone) to Early Famennian (*triangularis* to *termini* zones. Biofacies interpretation and conodont frequency reveal the Icriodid-Polygnathid to Polygnathid-Icriodid biofacies due to the deepening of the depositional basin. CAI interpretation also shows the variation from CAI=1/5-2 to CAI=4-4/5. The studied interval is composed of an overall shallow-water, nearshore to open marine facies setting.

### Acknowledgment

This study is undertaken at the Department of Geology, Faculty of Sciences, University of Isfahan. The financial supports by the Vice-Chancellor for Research and Technology, University of Isfahan, was highly appreciated.

**Keywords:** Bahram Formation; Northeastern Isfahan; Conodonts; sequence stratigraphy; Givetian-Famennian.

## References

- Hairapetian, V., Ghobadi Pour, M., Popov, L.E., Hejazi, S.H., & Holmer, L.E., 2015. Ordovician of the Anarak Region: implications in understanding Early Palaeozoic history of Central Iran. *Stratigraphy*, 12 (2): 22–30.
- Lensch, G., & Davoudzadeh, M., 1982. Ophiolites in Iran. *Neues Jahrbuch für Geologie und Paläontologie Monatshefte*, 5: 306–320.
- Reyer, D., & Mohafez, S., 1970. Une premiere contribution des accords NIOC–ERAP a la connaissance géologique de l' Iran. *Review Institute de France Petrology*, 25: 979–1014.
- Sharkovski, M., Susov, M., & Krivyakin, M., 1984. Geology of the Anarak area (Central Iran), Explanatory text of the Anarak quadrangle map, Scale, 1: 250.000,. *Geological Survey of Iran*, V/O Technoexport, Report, 19. Tehran, 143 p.
- Wendt, J., Kaufmann, B., Belka, Z., Farsan, N., & Karimi Bavandpur, A., 2005. Devonian/Lower Carboniferous stratigraphy, facies patterns and palaeogeography of Iran. Part II. Northern and Central Iran. *Acta Geologica Polonica*, 55: 31–97.